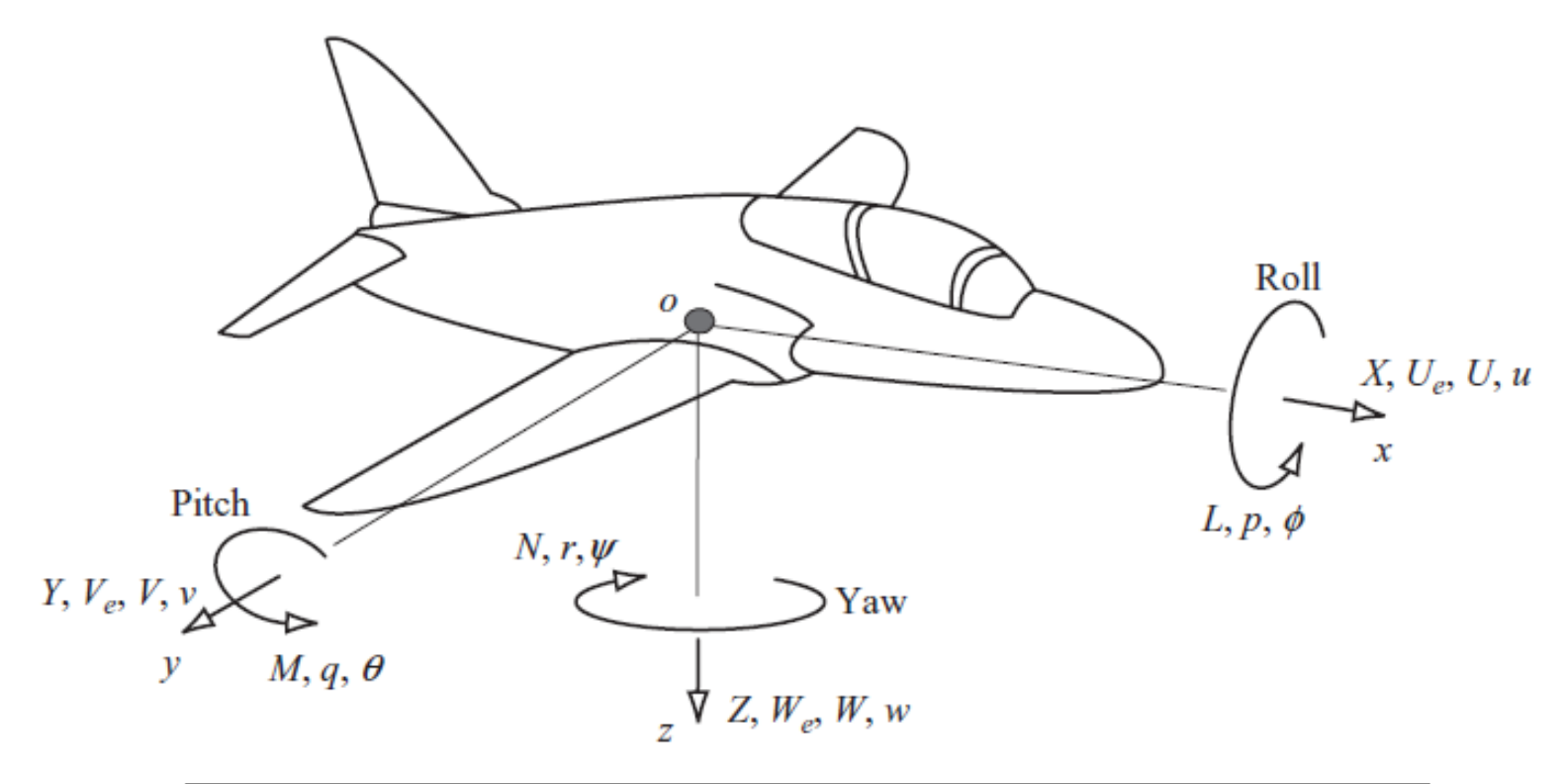
# Controllo LQG/LTR di un Aereo

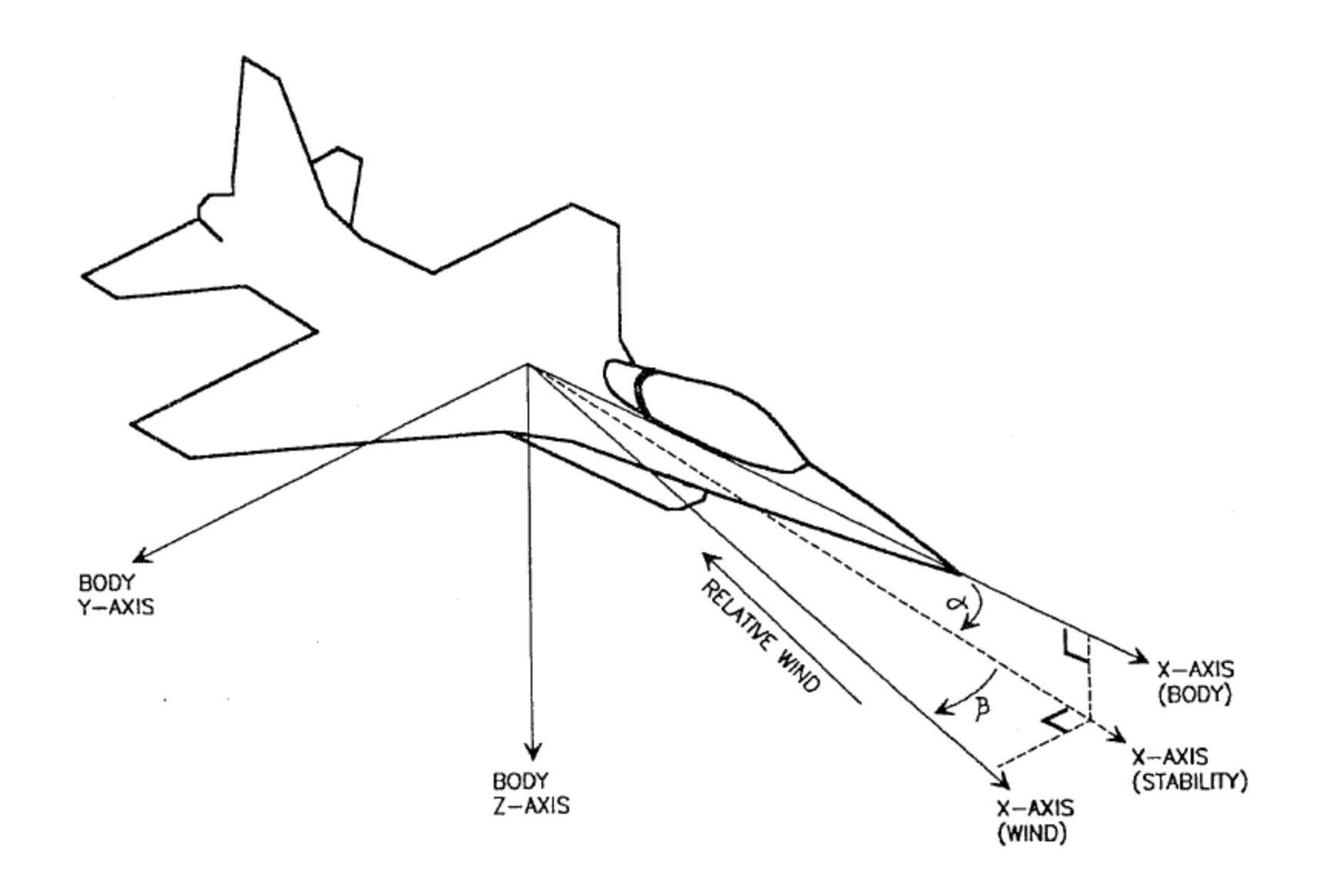
Corso di Controllo Multivariabile Prof. Francesco Amato

### Cenni di Dinamica del Volo: Variabili del Moto

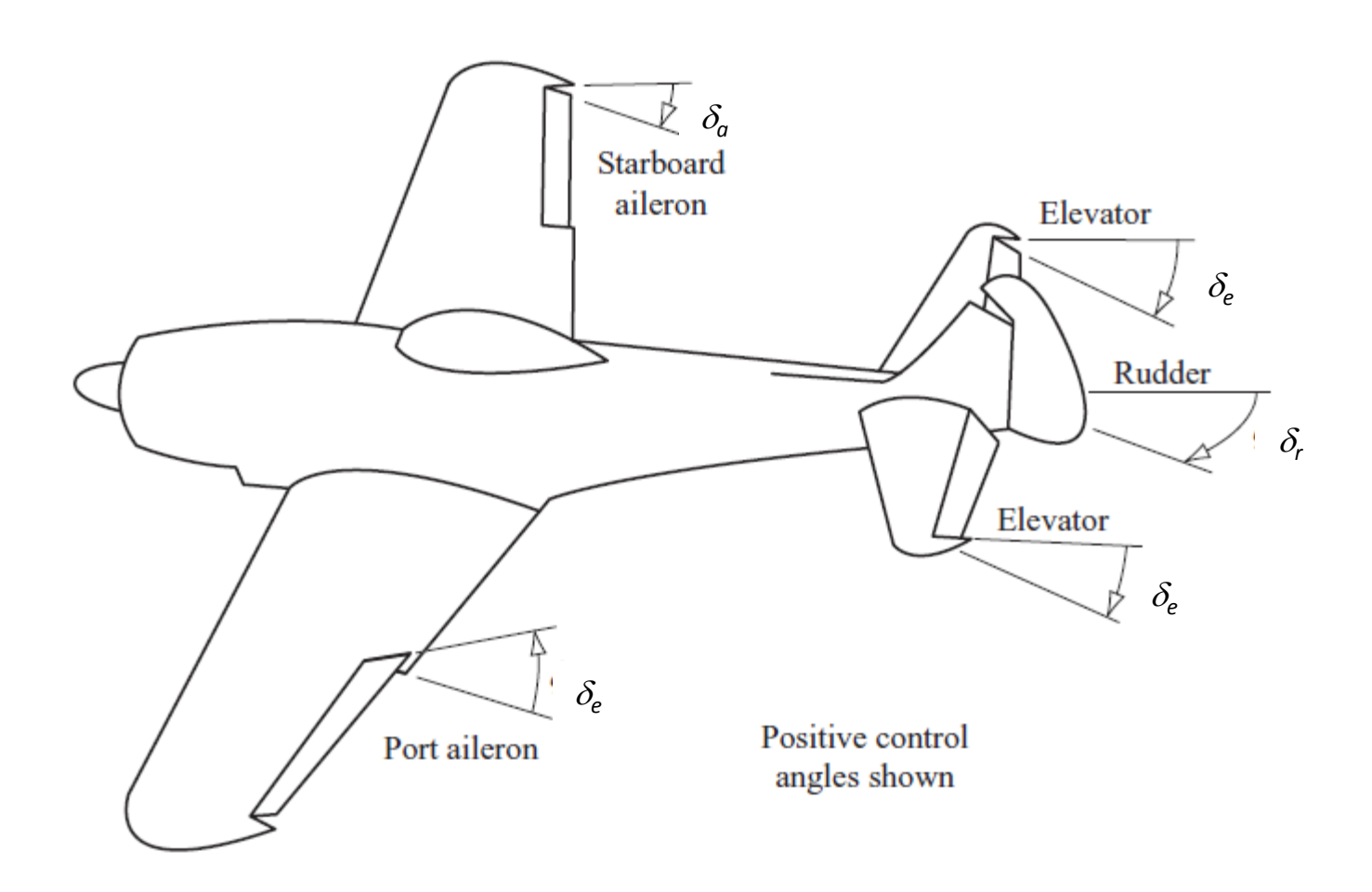


Aircraft axis	Trimmed equilibrium			Perturbed		
	ox	oy	OZ	ox	oy	oz
Force	0	0	0	X	Y	Z
Moment	0	0	0	L	M	N
Linear velocity	$U_e$	$V_e$	$W_e$	U	V	W
Angular velocity	0	0	0	p	q	r
Attitude	0	$\theta_e$	0	$\phi$	$\dot{\theta}$	$\psi$

## Cenni di Dinamica del Volo: Assi di Riferimento



# Superfici di Controllo



# Equazioni del Moto di un Aereo

#### Force Equations

$$\dot{U} = RV - QW - g_0' \sin \theta + \frac{F_x}{m}$$

$$\dot{V} = -RU + PW + g_0' \sin \phi \cos \theta + \frac{F_y}{m}$$

$$\dot{W} = QU - PV + g_0' \cos \phi \cos \theta + \frac{F_z}{m}$$

#### Kinematic Equations

$$\dot{\phi} = P + \tan \theta (Q \sin \phi + R \cos \phi)$$

$$\dot{\theta} = Q \cos \phi - R \sin \phi$$

$$\dot{\psi} = \frac{Q \sin \phi + R \cos \phi}{\cos \theta}$$

#### Moment Equations

$$\begin{split} \dot{P} &= (c_1 R + c_2 P) Q + c_3 \overline{L} + c_4 N \\ \dot{Q} &= c_5 P R - c_6 (P^2 - R^2) + c_7 M \\ \dot{R} &= (c_8 P - c_2 R) Q + c_4 \overline{L} + c_9 N \end{split}$$

#### Navigation Equations

$$\dot{p}_{N} = U \cos \theta \cos \psi + V(-\cos \phi \sin \psi + \sin \phi \sin \theta \cos \psi)$$

$$+ W(\sin \phi \sin \psi + \cos \phi \sin \theta \cos \psi)$$

$$\dot{p}_{E} = U \cos \theta \sin \psi + V(\cos \phi \cos \psi + \sin \phi \sin \theta \sin \psi)$$

$$+ W(-\sin \phi \cos \psi + \cos \phi \sin \theta \sin \psi)$$

$$\dot{h} = U \sin \theta - V \sin \phi \cos \theta - W \cos \phi \cos \theta$$

Gli ingressi manipolabili (potenza motore, deflessioni di elevatori, alettoni e timone) determinano le forze ed i momenti che compaiono nelle equazioni, secondo relazioni nonlineari

# Punti di Equilibrio e Modelli Linearizzati

- Un punto di equilibrio per un aereo in volo corrisponde ad una condizione in cui
  - tutte le velocità (lineari ed angolari) sono costanti (o nulle)
  - tutte le accelerazioni (lineari e angolari) sono nulle

Steady-State Flight:

$$\dot{P}, \dot{Q}, \dot{R}, \dot{U}, \dot{V}, \dot{W} \left( \text{or } \dot{V}_T, \dot{\beta}, \dot{\alpha} \right) \equiv 0, \qquad U = \text{const.}$$
 (2.5-3a)

with the following additional constraints according to the flight condition:

Steady Wings-Level Flight: 
$$\phi, \dot{\phi}, \dot{\theta}, \dot{\psi} \equiv 0$$
 (:  $P, Q, R \equiv 0$ )

Steady Turning Flight:  $\dot{\phi}, \dot{\theta} \equiv 0, \quad \dot{\psi} \equiv \text{turn rate}$ 

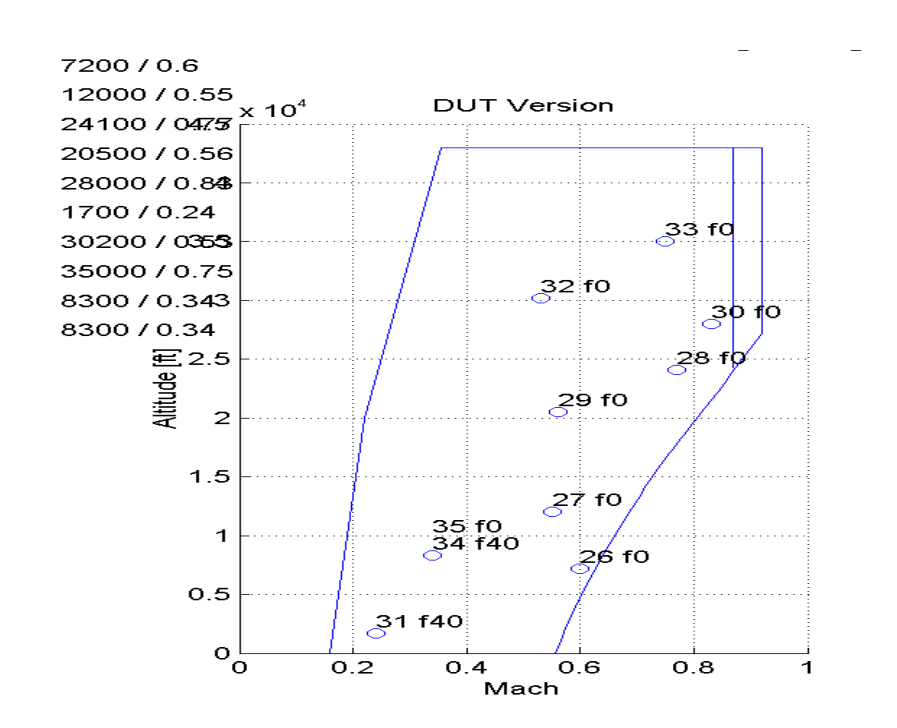
Steady Pull-up:  $\phi, \dot{\phi}, \dot{\psi} \equiv 0, \quad \dot{\theta} \equiv \text{pull-up rate}$ 

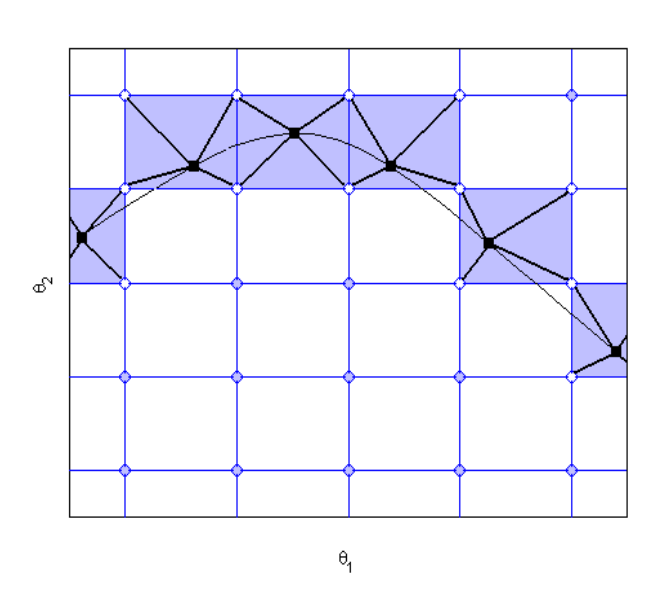
Steady Roll:  $\dot{\theta}, \dot{\psi} \equiv 0, \quad \dot{\phi} \equiv \text{roll rate}$ 

(2.5-3b)

# Progetto basato su Gain-Scheduling

- L'approccio classico consiste nel
  - derivare tanti modelli linearizzati in diversi punti
  - progettare un controllore per ciascun punto
  - implementare un gain-scheduling nei punti intermedi





# Modelli Linearizzati Disaccoppiati

- Nella condizione di volo livellato con sideslip nullo, si ottengono due modelli linearizzati disaccoppiati
  - Modello Linearizzato Longitudinale

$$\mathbf{x}^{\mathrm{T}} = \begin{bmatrix} v_T & \alpha & \theta & q \end{bmatrix}, \quad \mathbf{u}^{\mathrm{T}} = \begin{bmatrix} \delta_{\mathrm{th}} & \delta_e \end{bmatrix}$$

$$E = \begin{bmatrix} 1 & 0 & 0 & 0 \\ 0 & V_T - Z_{\dot{\alpha}} & 0 & 0 \\ 0 & 0 & 1 & 0 \\ 0 & -M_{\dot{\alpha}} & 0 & 1 \end{bmatrix}, \qquad B = \begin{bmatrix} X_{\delta \text{th}} \cos \alpha_e & X_{\delta e} \\ -X_{\delta \text{th}} \sin \alpha_e & Z_{\delta e} \\ 0 & 0 \\ M_{\delta \text{th}} & M_{\delta e} \end{bmatrix}$$

$$E\dot{\mathbf{x}} = A\mathbf{x} + B\mathbf{u}$$

$$A = \begin{bmatrix} X_{V} + X_{T_{V}} \cos \alpha_{e} & X_{\alpha} & -g'_{0} \cos \gamma_{e} & 0 \\ Z_{V} - X_{T_{V}} \sin \alpha_{e} & Z_{\alpha} & -g'_{0} \sin \gamma_{e} & V_{T} + Z_{q} \\ 0 & 0 & 0 & 1 \\ M_{V} + M_{T_{V}} & M_{\alpha} & 0 & M_{q} \end{bmatrix}.$$

# Modelli Linearizzati Disaccoppiati

Modello Linearizzato Latero-Direzionale

$$\mathbf{x}^{\mathrm{T}} = \begin{bmatrix} \beta & \phi & p_{W} & r_{W} \end{bmatrix}, \quad \mathbf{u}^{\mathrm{T}} = \begin{bmatrix} \delta_{a} & \delta_{r} \end{bmatrix}$$

$$E\dot{\mathbf{x}} = A\mathbf{x} + B\mathbf{u}$$

$$E = \begin{bmatrix} V_T & 0 & 0 & 0 \\ 0 & 1 & 0 & 0 \\ 0 & 0 & 1 & 0 \\ 0 & 0 & 0 & 1 \end{bmatrix}, \qquad B = \begin{bmatrix} Y_{\delta a} & Y_{\delta r} \\ 0 & 0 \\ L'_{\delta a} & L'_{\delta r} \\ N'_{\delta a} & N'_{\delta r} \end{bmatrix}$$

$$A = \begin{bmatrix} Y_{\beta} & g_0' \cos \theta_e & Y_p & Y_r - V_T \\ 0 & 0 & \frac{\cos \gamma_e}{\cos \theta_e} & \frac{\sin \gamma_e}{\cos \theta_e} \\ L'_{\beta} & 0 & L'_p & L'_r \\ N'_{\beta} & 0 & N'_p & N'_r \end{bmatrix},$$

# Modello Matlab/Simulink di un F-16

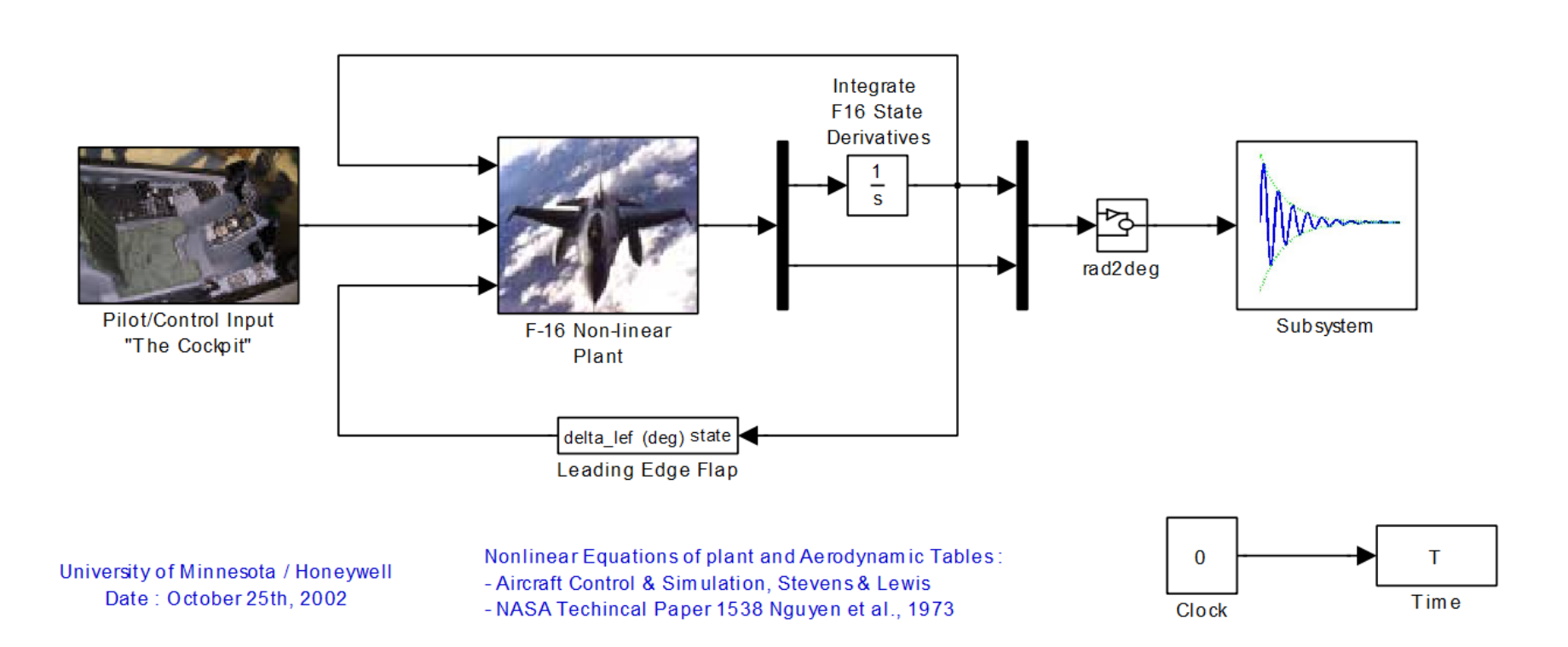


		UNITS		
Control	Input	Used by nlplant	Min	Max.
Thrust	lbs.	lbs.	1000	19000 lbs.
Elevator	$\deg$ .	$\deg$ .	-25	$25 \deg$ .
Aileron	$\deg$ .	$\deg$ .	-21.5	$21.5  \deg.$
Rudder	$\deg$ .	$\deg$ .	-30	$30 \deg$ .
Leading Edge Flap	deg	$\deg$	0	$25  \deg$ .

Controllo LQG/LTR di un Aereo – Ing. Carlo Cosentino

### Struttura del Modello Simulink

 Il file Simulink può implementare due modelli: uno semplificato ed uno più complesso (che considera anche l'effetto del Leading Edge Flap)



### Calcolo Modelli Linearizzati

- Mediante il comando FindF16Dynamics è possibile calcolare
  - Modello linearizzato completo
  - Modello linearizzato longitudinale
  - Modello linearizzato latero-direzionale
  - Mappa dei poli di ciascun modello
  - Diagrammi di Bode per ciascun canale In-Out

### Modello Linearizzato Latero-Direzionale

 Struttura del modello latero-direzionale (include il throttle come ingresso)

$$\begin{bmatrix} \dot{\phi} \\ \dot{\psi} \\ \dot{v} \\ \dot{\beta} \\ \dot{p} \\ \dot{r} \\ \dot{\delta}_{t} \\ \dot{\delta}_{a} \\ \dot{\delta}_{r} \end{bmatrix} = \mathbf{A} \begin{bmatrix} \phi \\ \psi \\ v \\ \beta \\ r \\ \delta_{a} \\ \delta_{r} \end{bmatrix} + \mathbf{B} \begin{bmatrix} \delta_{t} \\ \delta_{a} \\ \delta_{r} \end{bmatrix} \begin{bmatrix} \phi \\ \psi \\ v \\ \beta \\ p \\ r \end{bmatrix} = \mathbf{C} \begin{bmatrix} \phi \\ \psi \\ v \\ \beta \\ p \\ r \end{bmatrix} + \mathbf{D} \begin{bmatrix} \delta_{t} \\ \delta_{a} \\ \delta_{r} \end{bmatrix}$$

Equazione di stato

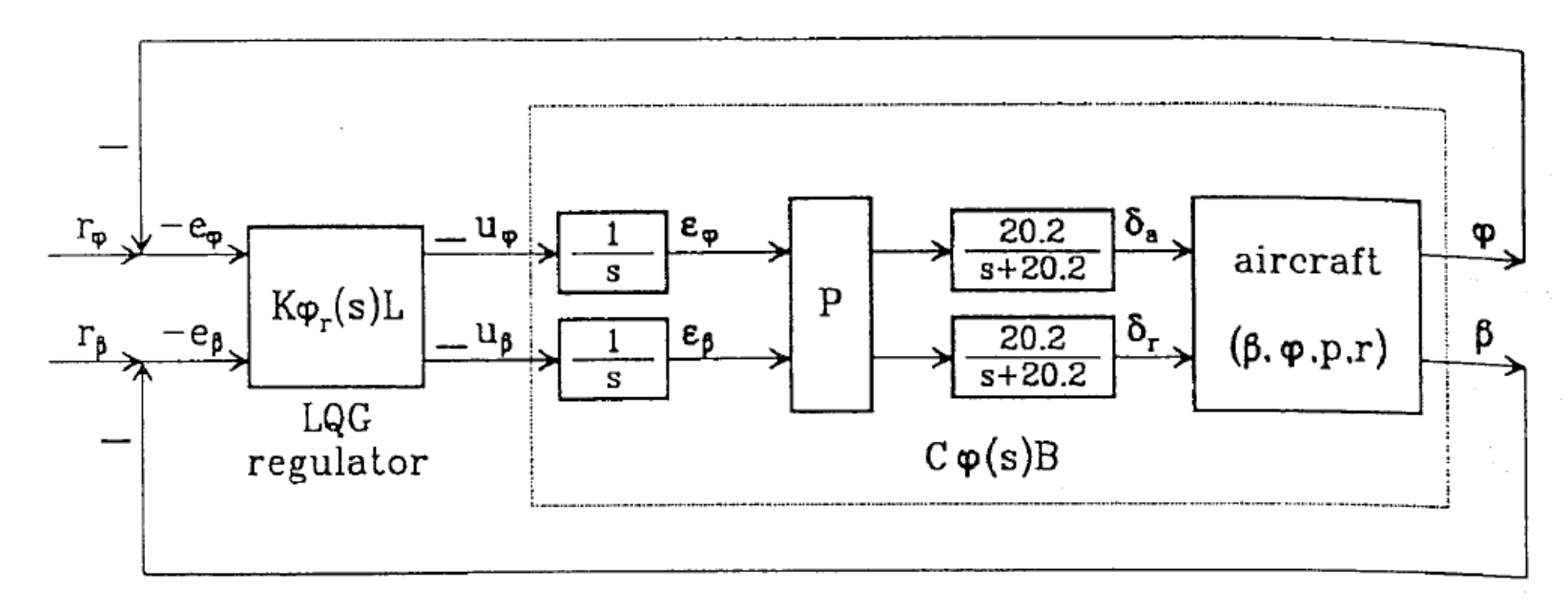
Equazione di uscita

#### Modello Ridotto

- Consideriamo il sottosistema definito da
  - Ingressi: Aileron e Rudder
  - Uscite: Bank angle and Sideslip angle
- Non considerando il Throttle otteniamo un sistema quadrato
- Effettuiamo l'analisi di controllabilità e osservabilità sul sottosistema ottenuto
- Eliminiamo le parti non control./osserv.

### Struttura del Sistema di Controllo

- L'obiettivo è inseguire il riferimento  $r_\phi$  con sideslip nullo
- Il sistema viene precompensato per bilanciare i valori sui due canali
- Viene inoltre aggiunta un'azione integrale su entrambi i canali per ottenere errore nullo



## Recupero della Robustezza all'Uscita

- Nel seguito adotteremo l'approccio LTR riferendoci all'uscita del sistema
- Ricordiamo che, in tal caso, la procedura consiste nel
  - calcolare prima il filtro di Kalman
  - poi calcolare il guadagno statico K che recupera la robustezza in uscita
- Mediante la procedura duale è possibile invece progettare un controllore per il LTR all'ingresso del sistema

## Progetto del Filtro di Kalman

- Se la coppia  $(A^{T,C^{T}})$  è stabilizzabile e la coppia  $(A^{T,G^{T}})$  è rivelabile (dove  $Q_n = G^{T}G$ )
  - L'eq. algebrica di Riccati

$$AS+SA^T+Q_n-SC^TR_n^{-1}CS=0$$
 ammette un'unica soluzione  $S^*$  semidefinita positiva

- L'osservatore con guadagno  $K_f = S^*C^TN^{-1}$  (filtro di Kalman) è ottimo rispetto ad un assegnato indice quadratico
- In Matlab usiamo il comando

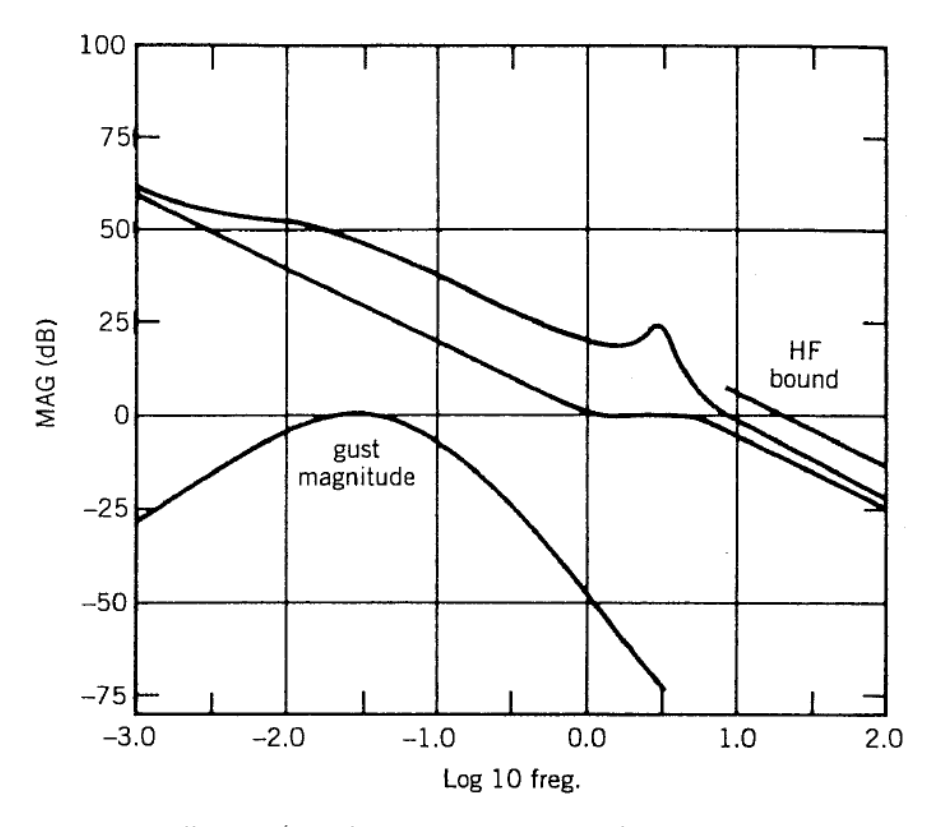
$$kalman(sys, Q_n, R_n)$$

N.B. il sistema sys deve essere nella forma

$$\dot{x} = Ax + Bu + Fw$$
$$y = Cx + Du + Hw + v$$

# Analisi della Robustezza pre-LTR

- Ricordiamo che per la robustezza del sistema a ciclo chiuso si può valutare dalla matrice di trasferimento a ciclo aperto
- Per sistemi MIMO si fa riferimento ai valori singolari



Controllo LQG/LTR di un Aereo – Ing. Carlo Cosentino

# Analisi della Robustezza pre-LTR

La MdT a ciclo aperto è data da

$$\hat{x} = A\hat{x} + Le$$

$$\hat{y} = C\hat{x}$$

$$C(sI-A)^{-1}L$$

- Possiamo tracciare l'andamento in frequenza del max e min valore singolare
- La MdT a ciclo chiuso, invece, è

$$\dot{\hat{x}} = (A - LC)\hat{x} + Lr$$

$$\hat{y} = C\hat{x}$$

$$C(sI-(A-LC))^{-1}L$$

 Da questa funzione possiamo ricavare la risposta al gradino del sistema di controllo ideale

## Progetto del Guadagno del Controllore

- Per recuperare le proprietà di robustezza all'uscita dell'impianto, possiamo calcolare lo state-feedback LQR con le matrici di peso  $Q=C^TC$  e  $\rho^2R$
- Ricordiamo che quando  $\rho \rightarrow 0$

$$C\Phi(s)BK(s) = C\Phi(s)BK\Phi_r(s)K_f \rightarrow C\Phi(s)K_f$$

In Matlab usiamo il comando

# Analisi della Robustezza post-LTR

- Diminuiamo il valore di  $\rho$  fino ad ottenere una MdT a ciclo aperto simile a quella del sistema ideale
- Il sistema a ciclo aperto è

$$\dot{x} = Ax + Bu$$

$$\dot{\hat{x}} = (A - LC)\hat{x} + Bu + Lw$$

$$u = -K\hat{x}$$

dove w(t) = -e(t)

Possiamo riscriverlo come

$$\begin{bmatrix} \dot{x} \\ \dot{\hat{x}} \end{bmatrix} = \begin{bmatrix} A & -BK \\ 0 & A - LC - BK \end{bmatrix} \begin{bmatrix} x \\ \hat{x} \end{bmatrix} + \begin{bmatrix} 0 \\ L \end{bmatrix} w$$
$$y = \begin{bmatrix} C & 0 \end{bmatrix} \begin{bmatrix} x \\ \hat{x} \end{bmatrix}$$

## Analisi della Robustezza post-LTR

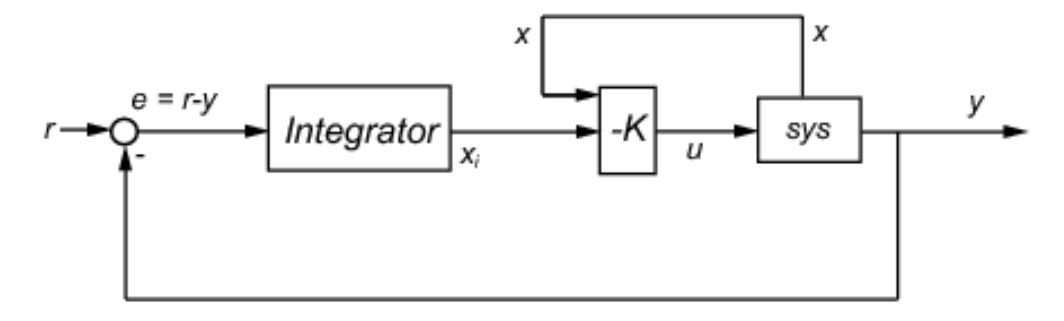
 Sostituendo w(t)=y(t)-r(t), possiamo scrivere il sistema a ciclo chiuso

$$\begin{bmatrix} \dot{x} \\ \dot{\hat{x}} \end{bmatrix} = \begin{bmatrix} A & -BK \\ LC & A - LC - BK \end{bmatrix} \begin{bmatrix} x \\ \hat{x} \end{bmatrix} + \begin{bmatrix} 0 \\ -L \end{bmatrix} r$$
$$y = \begin{bmatrix} C & 0 \end{bmatrix} \begin{bmatrix} x \\ \hat{x} \end{bmatrix}$$

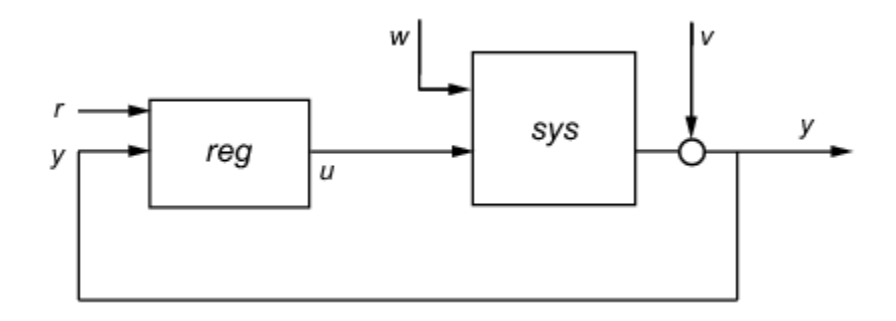
da cui è possibile ottenere le risposte al gradino

### Comandi Utili

 Iqi: genera una matrice K assumendo la presenza di integratori nel ciclo di controllo a 1 grado di libertà



 lqg: genera direttamente il controllore completo (a 1 o 2 gradi di libertà) LQG per il tracking del riferimento r



### Esercizi

- Progettare dei controllori per l'aereo F-16 in altre condizioni di volo, sia per il sottosistema longitudinale che latero-direzionale
- Provare ad implementare i controllori nel modello non-lineare e confrontare con i risultati del caso lineare
- Valutare il comportamento del sistema a c.c. in punti operativi diversi da quello di progetto (robustezza a fronte di variazioni parametriche)
- Progetto LQG/LTR per altri sistemi MIMO
  - ad es. vedi Case studies nei Demos in Matlab
  - Esempio Colonna di Distillazione
     (<a href="http://www.nt.ntnu.no/users/skoge/book/matlab\_m/cola/cola.html">http://www.nt.ntnu.no/users/skoge/book/matlab\_m/cola/cola.html</a>)
  - Riviste (Control System Technology, Journal of Process Control, ISA Transactions,...)